

Науковий журнал

3.2006

ВІСНИК

Хмельницького національного університету



**(Вісник Технологічного
університету Поділля)**

Технічні науки

**Ювілейний спецвипуск до
40-річчя заснування Інституту
механіки та інформатики**

Хмельницький 2006

ВІСНИК

Хмельницького

національного

університету

Засновано в липні 1997р.

Виходить 6 разів на рік

Хмельницький, 2006, №3 (80)

**Засновник і видавець: Хмельницький національний університет
(до 2005 р. – Технологічний університет Поділля, м. Хмельницький)**

Головний редактор

Голова редакційної колегії

Заступник головного редактора

Відповідальний секретар

Скиба М.Є., заслужений працівник народної освіти України, академік УТА, професор, ректор Хмельницького національного університету

Сілін Р.І., заслужений працівник народної освіти України, академік АІН, академік АІН України, академік УТА, д.т.н., професор

Каплун В.Г., академік УТА, д.т.н., професор

Гуляєва В.О., завідувач патентно-інформаційним відділом,

Хмельницький національний університет

Члени редколегії

Технічні науки

д.т.н. Кініцький Я.Т., к.т.н. Баннова І.М., д.т.н. Гладкий Я.М., к.т.н. Домбровський А.Б., к.т.н. Драпак Г.М., д.т.н. Калда Г.С., д.т.н. Камбург В.Г., д.т.н. Ковтун В.В., д.т.н. Костогриз С.Г., д.т.н. Кузьменко А.Г., д.т.н. Локазюк В.М., д.т.н. Мазур М.П., к.т.н. Мандзюк І.А., д.т.н. Мичко А.А., д.т.н. Мишищев О.А., д.т.н. Параска Г.Б., д.т.н. Ройzman В.П., д.т.н. Рудницький В.Б., д.т.н. Семенюк М.Ф., д.т.н. Славинська А.Л., д.т.н. Стечишин М.С., к.т.н. Троцишин І.В., д.т.н. Шевеля В.В., д.т.н. Либа В.П., д.ф.-м.н. Качурик І.І. д.т.н. Кострицький В.В. (Київ), д.т.н. Березненко М.П. (Київ), д.т.н. Злотенко Б.М. (Київ), д.т.н. Коновал В.В. (Київ), д.т.н. Мельничук П.П. (Житомир), д.т.н. Назаров В.В. (Хмельницький), д.т.н. Орловський Б.В. (Київ), д.т.н. Праховій А.В. (Київ), д.т.н. Чередниченко П.І. (Чернігів), к.т.н. Волков О.І. (Київ)
prof. dr hab. inż Józef Gawlik (Польща, Краків), dr h.c. prof. dr hab. inż. Leszek Dobrzański (Польща, Глівіце), dr hab. inż. prof. Edward Lisowski (Польща, Краків), prof. dr hab. inż. Władimir Liubimow (Польща, Жешув), prof. dr hab. inż Stanisław Michałowski (Польща, Краків), prof. dr hab. inż Stanisław Pietrowski (Польща, Лодзь), dr hab. inż. prof. Krzysztof Szuwalski (Польща, Краків), dr hab. inż. prof. Grzegorz Milewski (Польща, Краків)

Відповідальний за випуск директор ІМІ к.т.н., професор Драпак Г.М.

Технічний редактор к.т.н. Горященко К.Л.

Редактор-коректор Броженко В.О.

**Адреса
редакції:**

**Україна, 29016,
м. Хмельницький, вул. Інститутська, 11,
Хмельницький національний університет
редакція журналу "Вісник Хмельницького національного університету"**

(8-03822) 2-51-08

patent_1@beta.tup.km.ua

<http://visniktup.narod.ru>

http://library.tup.km.ua/visnyk_tup.htm

<http://vestnik.ho.com.ua>



e-mail:

web:

Зареєстровано Міністерством України у справах преси та інформації.

Свідоцтво про державну реєстрацію друкованого засобу масової інформації

Серія КВ № 9722 від 29 березня 2005 року (перерегістровано)

© Хмельницький національний університет, 2

© Редакція журналу "Вісник Хмельницького національного університету", 2006

ОЦІНКА СУКУПНОГО ВПЛИВУ ХАОТИЧНИХ ІМПУЛЬСНИХ ПЕРЕШКОД ТА ФЛУКТУАЦІЙНОГО ШУМУ НА ТОЧНІСТЬ ПЕРВІННИХ СПОСТЕРЕЖЕНЬ

У роботі проаналізовано вплив хаотично-імпульсних перешкод та флюктуаційних шумів на точність бортових вимірювань кутових координат повітряного судна у системі посадки сантиметрового діапазону.

ВСТУП

У радіотехнічних системах різного цільового призначення широкого розповсюдження набули схеми вимірювання навігаційних параметрів замкненого типу, які мають певні переваги перед схемами з безпосереднім відліком в умовах наявності дестабілізуючих факторів [1]. Загальноприйнятий метод підвищення точності вищезгаданих схем полягає в оптимізації смуги пропускання системи стеження ΔF_{opt} , виходячи з міркувань мінімізації суми динамічної та флюктуаційної складових результатуючої похибки $\sigma^2 = \sigma_d^2 + \sigma_{\text{fl}}^2$. У системах посадки сантиметрового діапазону величина ΔF_{opt} знаходить у межах 0,1-1,5 Гц для нормальних умов польоту [3, 4]. Проте для повітряних суден, які заходять на посадку, характерним є режим інтенсивного маневрування при суттєвих обмеженнях у просторі та часі можливостей компенсації супутніх похибок пілотування, тому для зменшення динамічної складової σ_d^2 апертуру часового дискримінатора збільшують до величини $(2\text{-}3)t_i$, де t_i – тривалість сигнального імпульсу [2].

ПОСТАНОВКА ЗАДАЧІ ТА ВИЗНАЧАЛЬНІ СПІВВІДНОШЕННЯ

Розширення апертури часового дискримінатора позитивно впливає на надійність процедури стеження, але разом з тим збільшує ризик появи в апертурі дискримінатора окрім сигнального імпульсу ще й інших, побічних імпульсів, наприклад, від суміжно працюючого радіоелектронного обладнання, сигналів відбиття від місцевих предметів, навколошніх аеродромних споруд, індустріальних перешкод тощо. Як правило, час появи таких імпульсів, їх амплітуда, інтенсивність та тривалість є по суті випадкові величини. У літературі подібну категорію імпульсів класифікують як хаотичну імпульсну перешкоду (ХІП) і моделюють пуссонівським потоком рідких подій заданої інтенсивності [5]. У даній роботі досліджується сукупний вплив саме таких перешкод та флюктуаційних шумів на точність первинних вимірювань кутових координат повітряного судна у бортовій підсистемі посадочної системи сантиметрового діапазону.

Розглянемо статистичні характеристики оцінок часового положення кутового сигнального імпульсу у разі широкої апертури часового дискримінатора при спільній дії хаотичної імпульсної перешкоди та флюктуаційного шуму. Припустимо, що усередині часового інтервалу $[0, T_c]$ при $T_c > t_i$ знаходить сигнальний імпульс, "розмитий" відносно дійсного його часового положення t_0 адитивним нормальним шумом. У цьому

випадку вимірю часового положення сигналу розподіляються за нормальним законом $N(t_0, \sigma_w^2)$. Якщо імпульс ХІП, який перевишив захисний поріг вимірювального пристрою, потрапляє в апертуру дискримінатора, тобто у часовий інтервал $[0, T_c]$ і передує сигнальному імпульсу, то відбувається хибне спрацьовування вимірювача і це у кінцевому рахунку сприяє зростанню похибок вимірювань. Інтегральний закон розподілу одиничних вимірювачів $F(t)$ можна отримати за формулою додавання ймовірностей:

$$F(t) = F_c(t) + F_n(t) - F_c(t) \cdot F_n(t), \quad (1)$$

де $F_c(t) = \frac{1}{\sigma_w \sqrt{2\pi}} \int_{-\infty}^t e^{-\frac{(t-t_0)^2}{2\sigma_w^2}} dt$ – інтегральний нормальний закон розподілу ймовірностей;

$F_n(t) = 1 - e^{-\lambda t}$ – інтегральний закон розподілу інтервалів часу між двома послідовними подіями пуссонівського потоку [5]. Густину розподілу одиничних вимірювачів $f(t)$ визначають за загальним правилом – диференціюванням $F(t)$ по параметру t :

$$f(t) = f_c(t) + f_n(t) - f_c(t) \cdot F_n(t) - F_c(t) \cdot f_n(t). \quad (2)$$

При зміщенні розподілу (2) на величину t_0 отримуємо закон розподілу похибок одиничних вимірювачів при сукупній дії ХІП та флюктуаційного шуму.

РЕЗУЛЬТАТИ ДОСЛІДЖЕННЯ ТА ЇХ АНАЛІЗ

Конкретний вигляд розподілу (2) залежить від статистичної моделі ХІП. Якщо припустити, що ХІП являє собою пуссонівський потік рідких подій з заданою інтенсивністю λ , причому усі випадкові імпульси перевищують поріг спрацьовування вимірювального пристрою, то густина розподілу (2) матиме наступний вигляд:

$$f(t) = N(t_0, \sigma_w^2) \cdot e^{-\lambda t} + \lambda e^{-\lambda t} \cdot 0.5 \{ 1 - \Phi [(t-t_0)/\sigma_w \sqrt{2}] \}, \quad (3)$$

де $N(t_0, \sigma_w^2) = \frac{1}{\sigma_w \sqrt{2\pi}} e^{-\frac{(t-t_0)^2}{2\sigma_w^2}}$ – нормальна густина розподілу ймовірностей зі середнім значенням t_0 та дисперсією σ_w^2 ;

$$\Phi(x) = \frac{2}{\sqrt{\pi}} \int_0^x e^{-z^2} dz \text{ - інтеграл ймовірності.}$$

На рис. 1 зображене вигляд густини розподілу одиничних вимірювачів (3) при різних значеннях інтенсивності ХІП, причому входні дані $T_c = 2$, $t_0 = 1.5$, $\sigma_w = 0.06$ були нормовані по відношенню до t_c . Аналіз представлених графіків вказує на несиметричність апостеріорного розподілу та наявність зсуву оцінки часового положення сигналного імпульсу вліво відносно дійсного значення t_0 .

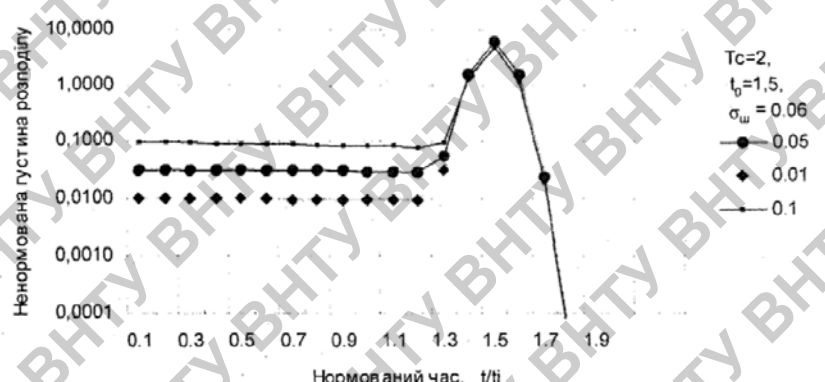


Рис. 1. Ненормована густина розподілу оцінок часового положення сигналного імпульсу при сукупній дії ХІП та флюктуаційного шуму

Прирівнюючи до нуля похідну від (3) по t , можна показати, що за винятком лівої границі апертури, величина зсуву описується виразом

$$\Delta T = -2\sigma_w^2 \lambda \left\{ 1 + \frac{\lambda}{2} \frac{\left[1 - \Phi \left(\frac{t-t_0}{\sigma_w \sqrt{2}} \right) \right]}{N(t_0, \sigma_w^2)} \right\}. \quad (4)$$

На рис. 2 приведені залежності величини зсуву ΔT від інтенсивності ХІП при різних значеннях t_0 , нормованих до тривалості сигналного імпульсу t_c . Неважко бачити, що величина зсуву оцінок зростає з ростом

інтенсивності ХІР та наближенням сигнального імпульсу до правої границі апертури дискримінатора.

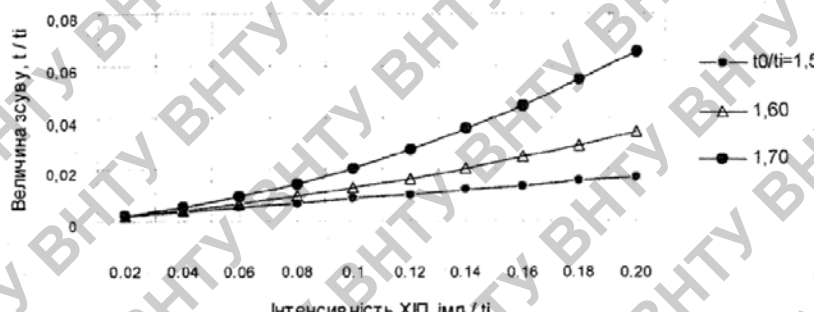


Рис. 2. Залежність величини зсуву оцінки часового положення сигнального імпульсу від інтенсивності ХІР

Ймовірність правильного оцінювання p_h визначимо як відношення площі під піком апостеріорного розподілу, обумовленим сигнальним імпульсом, до загальної площі під густину розподілу $f(t)$ [5]. Тоді ймовірність аномальних похибок буде визначатись як $p_a = 1 - p_h$. Площу під піком апостеріорного розподілу $f(t)$ знайдемо наступним чином:

$$\begin{aligned} S_n &= \int_{t_0 - \tau_i/2}^{t_0 + \tau_i/2} f(t) dt = S_1 + S_2 + S_3, \\ \text{де } S_1 &= \int_{t_0 - \tau_i/2}^{t_0 + \tau_i/2} e^{-\lambda t} N(t_0, \sigma_w^2) dt; \\ S_2 &= \int_{t_0 - \tau_i/2}^{t_0 + \tau_i/2} \lambda e^{-\lambda t} dt; \\ S_3 &= \int_{t_0 - \tau_i/2}^{t_0 + \tau_i/2} \lambda e^{-\lambda t} \Phi\left(\frac{t - t_0}{\sigma_w \sqrt{2}}\right) dt. \end{aligned} \quad (5)$$

Інтегрування по частинах з врахуванням (5) дає величину площі під піком апостеріорного розподілу $f(t)$ у вигляді:

$$S_n = e^{-\lambda t_0} \left[sh(\lambda \tau_i/2) + \Phi\left(\frac{\tau_i/2}{\sigma_w \sqrt{2}}\right) \cdot ch(\lambda \tau_i/2) \right].$$

Загальна площа під кривою апостеріорного розподілу $f(t)$ знаходиться аналогічно. Опускаючи проміжні викладки, можна показати, що

$$S_{\text{зар}} = \frac{1}{2} \left[1 + \Phi\left(\frac{t_0}{\sigma_w \sqrt{2}}\right) \right] - \frac{1}{2} e^{-\lambda T_c} \left[1 - \Phi\left(\frac{T_c - t_0}{\sigma_w \sqrt{2}}\right) \right]. \quad (6)$$

З врахуванням співвідношень (5) та (6), аналітичний вираз для ймовірності аномальної похибки матиме наступний вигляд:

$$p_a = 1 - \frac{e^{-\lambda t_0} \left[sh(\lambda \tau_i/2) + \Phi\left(\frac{\tau_i/2}{\sigma_w \sqrt{2}}\right) \cdot ch(\lambda \tau_i/2) \right]}{\frac{1}{2} \left[1 + \Phi\left(\frac{t_0}{\sigma_w \sqrt{2}}\right) \right] - \frac{1}{2} e^{-\lambda T_c} \left[1 - \Phi\left(\frac{T_c - t_0}{\sigma_w \sqrt{2}}\right) \right]}. \quad (7)$$

Слід зауважити, що формула (7) має наближений характер, тому що не враховує граничного ефекту на межах апертури $[0, T_c]$, однаке задовільно відображає залежність ймовірності аномальних похибок від довжини апіорного інтервалу, відношення сигнал / шум, тривалості сигнального імпульсу та його часового положення усередині апіорного інтервалу.

Залежності ймовірностей аномальних похибок p_a , розраховані за формулою (7) для різних значень інтенсивності флюктуаційних шумів та ХІР показані на рис. 3-4. Аналіз наведених залежностей показує, що ймовірність аномальних похибок зростає зі збільшенням апертури часового дискримінатора і зменшується з ростом співвідношення сигнал / шум.

Щодо впливу часового положення сигнального імпульсу t_0 на ймовірність похибок більших тривалості сигнального імпульсу t_i , то він незначний. Так, наприклад, подвійне зростання величини t_0 призводить до збільшення цієї ймовірності лише на 5-12 %.

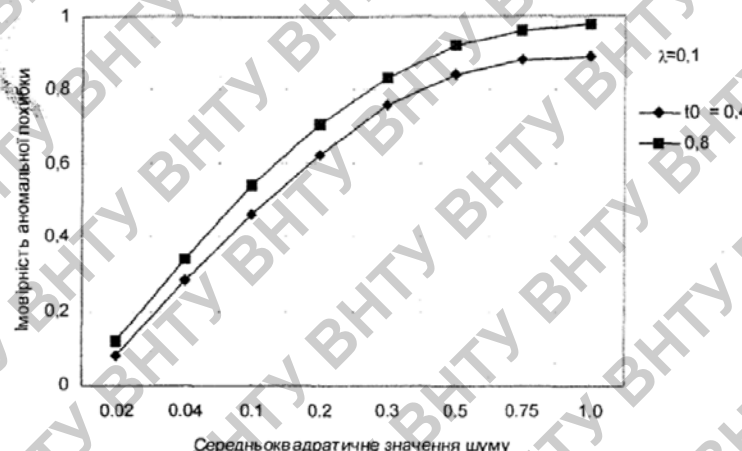


Рис. 3. Залежність імовірності аномальної похибки від інтенсивності флюктуаційного шуму

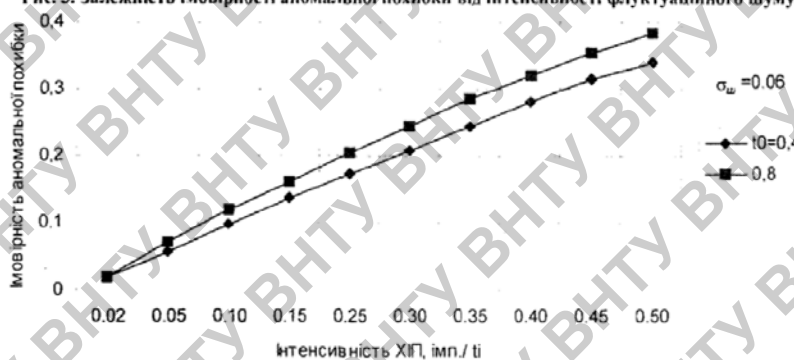


Рис. 4. Залежність імовірності аномальної похибки від інтенсивності ХІП

ВИСНОВКИ

За підсумками наведених розрахунків та графіків можна стверджувати, що:

- розподіл похибок однінічних вимірювань кутового положення повітряного судна при сукупній дії флюктуаційного шуму та ХІП- несиметричний;
- однінічні оцінки кутових координат є зміщеними, причому величина зсуву залежить від інтенсивності ХІП і зростає з наближенням сигнального імпульсу до правої межі апертури часового дискримінатора;
- Імовірність похибок більших тривалості сигнального імпульсу суттєво залежить від інтенсивності шуму σ_w та інтенсивності ХІП λ при відносно незначному впливі інших факторів: довжині априорного інтервалу T_c та часового положення сигнального імпульсу t_0 .

Результати проведеного аналізу можуть бути корисними у якості априорних даних про аномальні похибки у процесі синтезу алгоритмів обробки однінічних вимірювань кутових координат повітряного судна методами оптимальної фільтрації.

Література

1. Первачев С.В., Валуев В.А., Чиликин В.М. Статистическая динамика радиотехнических слежящих систем. – М.: Советское радио, 1973. – 488 с.
2. Сосновский А.А., Хаймович И.А. Радиоэлектронное оборудование летательных аппаратов. – М.: Транспорт, 1987. – 256 с.
3. Бортовые радиоустройства посадки самолетов / И.А. Хаймович, П.А.Иванов, Ю. Е. Устроев и др. – М.: Машиностроение, 1980. – 328 с.
4. Сантиметровые системы посадки самолетов / В.М. Бенин, Е.И. Шолупов, В.А.Кожевников, И.А.Хаймович. – М.: Машиностроение, 1985. – 224 с.
5. Ярлыков М.С. Статистическая теория радионавигации. – М.: Радио и связь, 1985. – 344 с.

Надійшла 4.3.2006 р.